

Universidade de São Paulo
Instituto de Física de São Carlos – IFSC
PROGRAMA UNIFICADO DE BOLSAS DE ESTUDO PARA
ESTUDANTES DE GRADUAÇÃO

Relatório IC
Tunelamento Dissipativo Não-Local

Bolsista: Anderson Araujo de Oliveira N^o11371311
Orientador: Prof. Dr. Miled Hassan Youssef Moussa

Dezembro
2023

Conteúdo

| | | |
|----------|--|-----------|
| 1 | Introdução | 2 |
| 2 | Objetivos | 2 |
| 3 | Métodos | 3 |
| 3.1 | Integral de Trajetória | 3 |
| 3.2 | O Propagador | 3 |
| 3.3 | Formulação de Integrais de Trajetória | 5 |
| 3.3.1 | Formulação de Espaço de Fase | 6 |
| 3.3.2 | Formulação No Espaço de Configurações | 9 |
| 4 | Resultados | 10 |
| 4.1 | Modelo de Caldeira-Leggett | 10 |
| 4.1.1 | Hamiltoniana | 11 |
| 4.1.2 | O Operador Densidade Reduzido Dinâmico | 11 |
| 4.1.3 | Funcional de Influência | 14 |
| 4.1.4 | Equação de movimento | 17 |
| 5 | Conclusão | 20 |
| 6 | Referência | 21 |

1 Introdução

Este projeto planeja estudar o processo de tunelamento dissipativo não local[1], sendo um mecanismo de transferência de estados em redes lineares de osciladores dissipativos. Neste processo, o estado do oscilador em uma extremidade da rede é transferido para a outra extremidade, através da excitação virtual dos osciladores intermediários. Essa excitação virtual minimiza a exposição do estado aos reservatórios térmicos dos osciladores intermediários, minimizando assim o processo de decoerência de estados. A transferência de informação quântica, ou de estados quânticos, em redes de spins[2] ou de osciladores harmônicos, é uma questão central no campo da teoria da informação quântica[3].

No presente projeto, abordamos o processo de maximização da fidelidade da transferência de estados através dos modelos de Caldeira-Leggett[4] e Spin-Boson[5], iremos deduzir a equação de movimento para o modelo de Caldeira-Leggett, utilizando a formulação de Feynman. Esses modelos permitem o tratamento do tunelamento de uma partícula entre poços espacialmente distantes, mesmo que não ocorra o overlap direto entre suas funções de onda. O overlap ocorre indiretamente, através das funções de onda do data bus.

2 Objetivos

- Tratar o processo de tunelamento não-local de uma partícula, de um poço de potencial a outro poço distante, conectados por um terceiro poço, comprido, estreito e de energia maior que aquelas dos poços extremos.
- Superar as analogias feitas na Ref. [1] entre cavidade e poço, e excitação da cavidade e partícula, significa tratar o tunelamento de uma partícula entre poços distantes de forma mais realista, considerando as posições da partícula.
- Transpor o método apresentado [1, 6] em redes de osciladores para os modelos de Caldeira-Leggett e Spin-Boson.

3 Métodos

3.1 Integral de Trajetória

3.2 O Propagador

O propagador, também conhecido como função de Green dependente do tempo, é uma ferramenta fundamental da formulação de Feynman. Ele permite calcular a evolução de um sistema quântico entre dois instantes de tempo, t_0 e t , definido como solução

$$i\hbar \frac{\partial U(t, t_0)}{\partial t} = H U(t, t_0) \quad (1)$$

Onde \hat{H} é a hamiltoniana do sistema. Dado o vetor de estado $|\psi(t_0)\rangle$ no instante inicial, o vetor de estado em função do tempo fica $|\psi(t)\rangle = U(t, t_0) |\psi(t_0)\rangle$. Se \hat{H} não depende explicitamente do tempo, temos a representação formal $U(t, t_0) = \exp\left(-i \frac{H(t-t_0)}{\hbar}\right)$. Sempre tomando \hat{H} independente do tempo, podemos representar \hat{U} em termos de um conjunto ortonormal completo de estados estacionários, ou seja, autoestados de $\hat{H}|n\rangle = E_n|n\rangle$, por

$$U(t) = \sum_{m,n} |\psi_m\rangle \langle\psi_m| e^{\frac{iht}{\hbar}} |\psi_n\rangle \langle\psi_n| \quad (2)$$

$$U(t) = \sum_n \exp\left(\frac{iHt}{\hbar}\right) |\psi_n\rangle \langle\psi_n| \quad (3)$$

Para definir o propagador, suponhamos agora que o sistema seja descrito no espaço de configurações pelas coordenadas $q = (q_1, q_2, \dots, q_n)$, onde n é o número de graus de liberdade. Se o sistema está no ponto q_0 para $t = 0$, o que descrevemos pelo vetor de estado, a probabilidade de que esteja entre $|q\rangle$ e $|q + d\vec{q}\rangle$ no instante t é $P(q, t)d\vec{q} = |\langle q|\hat{U}(t, 0)|q_0\rangle|^2 d\vec{q}$ essa equação representa uma amplitude de probabilidade para ir de um estado a outro. Onde:

$$K(q, q_0; t) = \langle q|\hat{U}(t, 0)|q_0\rangle \quad (4)$$

Define o propagador de $(q_0, t = 0)$ a (q, t) . A função de onda no espaço de configurações é $\langle q|\psi(t)\rangle = \psi(q, t)$ inserindo $I = \int \langle q|\hat{U}(t, 0)|q_0\rangle \psi(q_0, 0) dq_0$ na equação $|\psi(t)\rangle = U(t, t_0) |\psi(t_0)\rangle$, obtemos $\psi(q, t) = \int K(q, q_0; t) \psi(q_0, 0) dq_0$ o que justifica chamar K de função de Green dependente do tempo.

A representação espectral de K se obtém inserindo a equação $U(t, t_0) = \exp\left(-i\frac{H(t-t_0)}{\hbar}\right)$ na equação $K(q, q_0; t) = \langle q|\hat{U}(t, 0)|q_0\rangle$:

$$K(q, q_0; t) = \sum_n \psi_n(q) \psi_n^*(q_0) \exp\left(-i\frac{E_n t}{\hbar}\right) \quad (5)$$

A partir de 5, podemos calcular o traço do operador usando a representação do espaço de configurações, que define outra função importante, a *função espectral*

$$Y(t) = \text{Tr}(\hat{U}(t)) = \int K(\vec{q}, q_0; t) d\vec{q} = \sum_n N_n \exp\left(-i\frac{E_n t}{\hbar}\right) \quad (6)$$

Onde N_n é a degenerescência do nível de energia E_n .

A manipulação formal que levou à Eq. 6 puramente simbólica, mas tem uma importante implicação para a mecânica estatística. Em geral, podemos supor que o espectro de energia do sistema é limitado inferiormente, ou seja, que existe um estado fundamental de energia mínima. Sob essa condição, a Eq. 6 é convergente para valores complexos de t com parte imaginária negativa. Em particular, para $t = -i\hbar\beta$, temos, $Y(-i\hbar\beta) = Z(\beta) = \sum_n N_n \exp(-\beta E_n)$. Se identificarmos $\beta = 1/(kT)$, onde k é a constante de Boltzmann e T a temperatura absoluta, vemos que $Z(\beta)$ é a função de partição associada ao sistema quântico à temperatura T . Analogamente:

$$\frac{\text{Tr}[\hat{U}(-i\hbar\beta)]}{Z(\beta)} = \hat{\rho}(\beta) = \frac{e^{-\beta H}}{Z(\beta)} \quad (7)$$

é o operador densidade associada ao ensemble canônico.

Quando a temperatura se aproxima de zero, a função de partição do sistema se torna igual

à probabilidade de o sistema estar no estado fundamental. Nesse limite, o valor esperado termodinâmico de um operador \hat{A} no estado fundamental é dado pela seguinte expressão:

$$\begin{aligned}\langle \psi_0 | \hat{A} | \psi_0 \rangle &= \lim_{\beta \rightarrow \infty} \text{Tr}[\hat{\rho}(\beta) \hat{A}] \\ &= \lim_{t \rightarrow -i\infty} \{ \text{Tr}[\hat{U}(t) \hat{A}] / Y(t) \}.\end{aligned}\tag{8}$$

3.3 Formulação de Integrais de Trajetória

Uma maneira intuitiva de entender o conceito de integral de trajetória é considerar a seguinte experiência mental: uma partícula se propaga de uma fonte F até um detector D , tratando o problema, para simplificar, como bidimensional.

Se houver um anteparo opaco na posição com dois furos, a probabilidade da partícula chegar ao detector é dada pela soma das amplitudes de probabilidade para passar por cada um dos furos.

Se aumentarmos o número de furos e de anteparos intermediários (Fig. 1a), o número de trajetórias alternativas que interferem aumenta, até que, no limite de subdivisão (Fig. 1b), a probabilidade da partícula chegar ao detector é dada pela soma das amplitudes de probabilidade para todas as trajetórias possíveis entre F e D .

Podemos ainda especificar o movimento da partícula de forma mais detalhada, definindo o instante t em que ela passa por um determinado ponto. Isso corresponde a especificar a trajetória da partícula por meio de equações paramétricas $x = x(t)$, $y = y(t)$. A amplitude será, finalmente, a superposição das amplitudes correspondentes a todas as trajetórias possíveis.

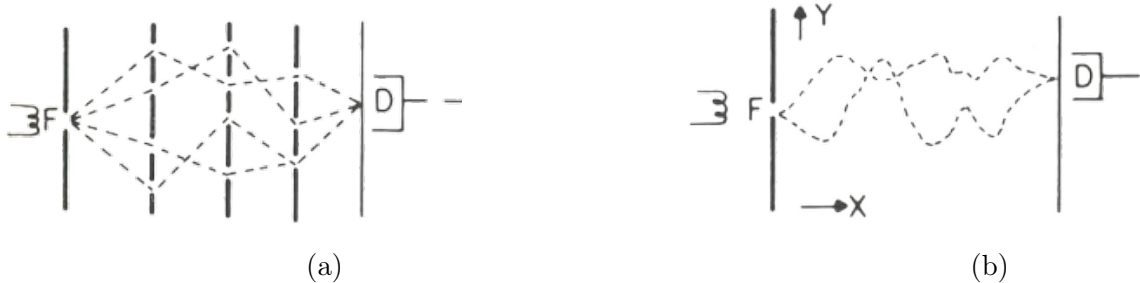


Figura 1

3.3.1 Formulação de Espaço de Fase

Para entender matematicamente a ideia de propagação quântica, dividiremos o intervalo de tempo entre o instante inicial $t_0 = 0$ e o instante final t em N subintervalos. Chamaremos esses subintervalos de $t_k (k = 0, 1, \dots, N)$ tais que $t_0 = 0, t_N = t$. A propagação entre t_0 e t pode ser dividida em uma sequência de propagações através dos instantes intermediários. A lei de composição dos propagadores nos diz que $\hat{U}(t, t_0) = \hat{U}(t_N, t_{N-1})\hat{U}(t_{N-1}, t_{N-2}) \dots \hat{U}(t_1, t_0)$. Inserindo conjuntos completos de estados intermediários, o propagador entre a posição inicial \vec{q}_0 e a posição final $\vec{q}_f = \vec{q}_N$ pode ser expresso como

$$\begin{aligned} & \langle q | \hat{U}(t, t_0) | q_0 \rangle \\ &= \int \dots \int \langle q | \hat{U}(t_N, t_{N-1}) | p_N \rangle \langle p_N | \hat{U}(t_{N-1}, t_{N-2}) | p_{N-1} \rangle \dots \langle p_1 | \hat{U}(t_1, t_0) | q_0 \rangle \\ & \times dp_{N-1} \dots dp_1. \end{aligned} \quad (9)$$

Para entender o que acontece quando o número de subintervalos N tende ao infinito, o intervalo de tempo entre cada subintervalo ϵ tende a zero, $\delta t_k \rightarrow 0$, onde $\delta t_k = t_k - t_{k-1}$. descrito pela Hamiltoniana, $\hat{H}(p, q) = \frac{p^2}{2m} + V(q)$, onde \vec{q} é uma coordenada cartesiana. Como \hat{H} é independente do tempo,

$$\left\langle q_k \left| \hat{U}(t_k, t_{k-1}) \right| q_{k-1} \right\rangle = \left\langle q_k \left| \exp \left(-\frac{i}{\hbar} \hat{H} \delta t_k \right) \right| q_{k-1} \right\rangle. \quad (10)$$

Para calcular este elemento de matriz, introduzimos um conjunto completo de estados intermediários do momento, usando $\int |p_k\rangle \langle p_k| dp_k = I$, de modo que a Eq. 9 fica

$$\begin{aligned} K(q_f, q_0, t) &= \int \dots \int \left\langle q_f \left| \hat{U}(\delta t_N) \right| p_N \right\rangle \langle p_N | q_{N-1} \rangle \dots \\ & \dots \langle q_1 \left| \hat{U}(\delta t_1) \right| p_1 \rangle \langle p_1 | q_0 \rangle dq_{N-1} \dots dq_1 dp_N \dots dp_1 \end{aligned} \quad (11)$$

Note haver uma integração sobre p a mais do que sobre q .

A ideia básica é agora que a $N \rightarrow \infty$, $\epsilon = \max(\delta t_k) \rightarrow 0$, $\delta t_k \rightarrow 0$, onde $\delta t_k = t_k - t_{k-1}$ pode ser utilizada para simplificar a propagação sobre um intervalo de tempo infinitesimal,

$\langle q_k | e^{-i\hat{H}(\delta t_k)/\hbar} | p_k \rangle \langle p_k | q_{k-1} \rangle \approx \langle q_k | [1 - \frac{i}{\hbar} H(\vec{p}, \vec{q}) \delta t_k] | p_k \rangle \langle p_k | q_{k-1} \rangle$. Onde estamos desprezando termos de ordem igual ou superior a δt_k onde $\delta t_k = t_k - t_{k-1}$ e lembrando que $\langle \vec{q} | \vec{p} \rangle = (2\pi\hbar)^{-\frac{L}{2}} \exp\left(\frac{i\vec{p}\vec{q}}{\hbar}\right)$, resulta em:

$$\begin{aligned} \langle q_k | \exp\left(-\frac{i}{\hbar} \hat{H} \delta t_k\right) | p_k \rangle \langle p_k | q_{k-1} \rangle &= \left[1 - \frac{i}{\hbar} H(p_k, q_k) \delta t_k\right] \underbrace{\langle q_k | p_k \rangle}_{\frac{1}{\sqrt{2\pi\hbar}} e^{ip_k q_k / \hbar}} \underbrace{\langle p_k | q_{k-1} \rangle}_{\frac{1}{\sqrt{2\pi\hbar}} e^{-ip_k q_{k-1} / \hbar}} \\ &\approx \frac{1}{2\pi\hbar} e^{ip_k(q_k - q_{k-1})/\hbar} \cdot \exp\left[-\frac{i}{\hbar} H(p_k, q_k) \delta t_k\right], \end{aligned} \quad (12)$$

Substituindo a Eq. 12 na Eq. 11, no limite definido anteriormente, obtemos a expressão heurística, onde $\epsilon = \max(\delta t_k)$:

$$K(q_f, q_i, t) = \lim_{\epsilon \rightarrow 0} \int \dots \int \prod_{k=1}^{N-1} \frac{dp_k dq_k}{2\pi\hbar} \exp\left(\frac{i}{\hbar} \sum_{k=1}^{N-1} (p_k \delta q_k - \hat{H} \delta t_k)\right) \quad (13)$$

Podemos agora interpretar esta expressão da seguinte maneira. No espaço de fase (p, q) associado ao movimento da partícula, definimos as trajetórias poligonais ilustradas na Fig. 2a, de equações paramétricas $p = p(\tau)$, $q = q(\tau)$, onde $0 < T \leq \tau$, e

$$\begin{cases} q(\tau) = \underbrace{\left(\frac{q_k - q_{k-1}}{t_k - t_{k-1}}\right)}_{\delta q_k / \delta t_k} (\tau - t_{k-1}) + q_{k-1} \\ \quad = \dot{q}_k (\tau - t_{k-1}) + q_{k-1}, \\ p(\tau) = p_k \end{cases} \quad (14)$$

no intervalo $t_{k-1} < \tau \leq t_k$

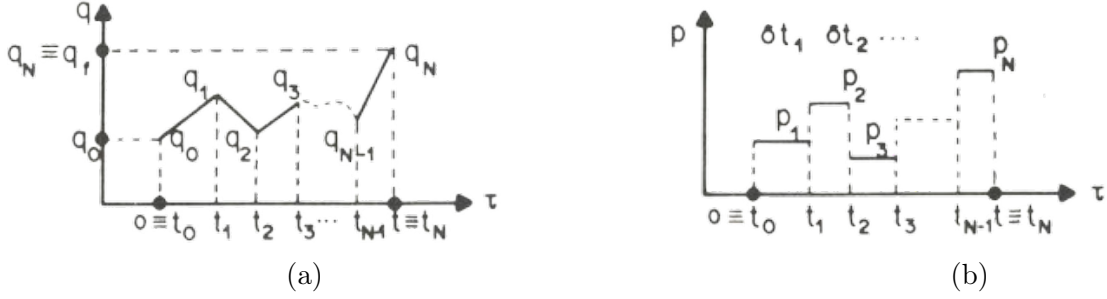


Figura 2

As trajetórias em q têm os extremos fixos q_i e q_f ; as em p têm extremos livres, ou seja, $p(0)$ e $p(t)$ são arbitrários. Nestas condições, podemos considerar a soma no expoente da Eq. 14 como um aproximante da integral:

$$A[p(\tau), q(\tau), q_f, q_0; t] = \int_0^t [p\dot{q} - H(p, q)] d\tau \quad (15)$$

Os colchetes nos argumentos $p(t)$ e $q(t)$ indicam que A é uma função que depende desses argumentos. Essa função é obtida como o limite de uma sequência de trajetórias poligonais. Essas trajetórias definem as trajetórias no espaço de fase.

Obtemos assim a seguinte expressão para o propagador Eq. 14:

$$K(q_f, q_0, t) = \iint \mathcal{D}_p \mathcal{D}_q \exp(A([p], [q]; q_f, q_0; t)) \quad (16)$$

A integral de trajetória no espaço de fase é definida como o limite de uma sequência de integral de trajetórias poligonais. O "elemento de volume" no espaço funcional das funções $p(\tau)$, $q(\tau)$ é indicado pela notação

$$\mathcal{D}p \mathcal{D}q = \lim_{N \rightarrow \infty} \prod_{k=1}^{N-1} \frac{1}{2\pi\hbar} \int dp_k dq_k \quad (17)$$

Que representa uma "produtória contínua". A Eq. 16 do propagador é devida a Feynman.

3.3.2 Formulação No Espaço de Configurações

Para passar ao espaço de configurações, substituiremos na Eq. 14 as integrais sobre o espaço dos momentos. Pelas seguintes relações $\hat{H}(p, q) = \frac{p^2}{2m} + V(q)$ e Eq. 14, a integral sobre p_k é dada por

$$\begin{aligned} \frac{1}{2\pi\hbar} \int_{-\infty}^{\infty} dp_k \exp \left\{ -\frac{i}{\hbar} \left[\frac{p_k^2}{2m} \delta t_k - p_k (q_k - q_{k-1}) \right] \right\} \\ = \left(\frac{m}{2\pi i \hbar \delta t_k} \right)^{1/2} \exp \left[\frac{im}{2\hbar \delta t_k} (q_k - q_{k-1})^2 \right] \end{aligned} \quad (18)$$

Para simplificar a notação, adotaremos uma subdivisão do intervalo $(0, t)$ em subintervalos todos iguais:

$$\delta t_k = \epsilon, \quad k = 1, 2, \dots, N, \quad \text{onde} \quad N\epsilon = t. \quad (19)$$

Obtemos então, efetuando as integrações sobre o espaço dos momentos na Eq. 14:

$$\begin{aligned} K(q_f, q_0; t) = \lim_{\epsilon \rightarrow 0} \left(\frac{m}{2\pi i \hbar \epsilon} \right)^{1/2} \int \dots \int_{k=1}^{N-1} \left(\frac{m}{2\pi i \hbar \epsilon} \right)^{1/2} da_k. \\ \times \exp \left\{ \frac{i}{\hbar} \sum_{k=1}^N \epsilon \left[\frac{m}{2} \left(\frac{q_k - q_{k-1}}{\epsilon} \right)^2 - v(q_k) \right] \right\}. \end{aligned} \quad (20)$$

Tomamos agora trajetórias poligonais no espaço de configurações, do tipo ilustrado na Fig. 2a. A somatória no expoente da Eq. (20) é um aproximante da integral

$$\begin{aligned} S([q(\tau)], q_f, q_a; t) &= \int_0^t \left[\frac{m}{2} \dot{q}(\tau)^2 - v(q(\tau)) \right] d\tau \\ &= \int_0^t \mathcal{L}([q(\tau)], [\dot{q}(\tau)]) d\tau \end{aligned} \quad (21)$$

Onde \mathcal{L} é a Lagrangiana clássica associada à Hamiltoniana clássica $\hat{H}(p, q) = \frac{p^2}{2m} + V(q)$. A integral de ação (Eq. (21)) ou função principal de Hamilton é calculada ao longo da trajetória $q(t)$ no espaço de configurações, ligando o ponto inicial fixo q_0 ao ponto final fixo q_f .

Nestas condições, o limite indicado na (20) define a integral de trajetória no espaço de

configuração, representada simbolicamente por

$$K(q_f, q_0; t) = \int Dq \exp \left\{ \frac{i}{\hbar} S([q(\tau)], q_f, q_0; t) \right\} \quad (22)$$

A equação (22) é a forma original da integral de trajetória de Feynman. Ela pode ser interpretada como uma superposição de todas as trajetórias possíveis que ligam os pontos q_0 a q_f . A amplitude de probabilidade de cada trajetória é dada pelo exponencial da integral de ação calculada ao longo da trajetória.

4 Resultados

4.1 Modelo de Caldeira-Leggett

Sistema é composto por três partes (sistema, interação e reservatório), descrito como:

$$\mathcal{L}_T = \underbrace{\frac{M\dot{q}^2}{2} - V_0(q)}_{\text{Sistema}} + \underbrace{- \sum_k C_k q q_k}_{\text{Interao}} + \underbrace{\sum_k \frac{m_k \dot{q}_k^2}{2} - \frac{m_k \omega_k^2 q_k^2}{2}}_{\text{Reservatrio}} \quad (23)$$

O reservatório, é formado por um conjunto de osciladores, onde q_k é coordenada, massa m_k e frequência ω_k . As constantes C_k são as constantes de acoplamento reservatório-sistema. Estudaremos a equação de movimento clássico, ou seja, $q(t)$ em contato com o reservatório, resolvendo por Euler-Lagrange, chegamos que:

$$M\ddot{q} + \frac{\partial V_0(q)}{\partial q} - \sum_k \frac{C_k^2}{m_k \omega_k^2} q = - \sum_k \frac{C_k^2}{m_k \omega_k^2} \frac{1}{2\pi i} \int_{\epsilon-i\infty}^{\epsilon+i\infty} \frac{s^2}{s^2 + \omega_k^2} e^{st} q'(s) ds - \sum_k \frac{C_k}{2\pi i} \int_{\epsilon-i\infty}^{\epsilon+i\infty} \frac{[\dot{q}_k(0) + q_k(0)s]}{s^2 + \omega_k^2} e^{st} ds \quad (24)$$

Podemos definir a função espectral, para definir melhor,

$$J(\omega) = \sum_k \frac{\pi}{2} \frac{C_k^2}{m_k \omega_k} \delta(\omega - \omega_k) \quad (25)$$

Onde a definição da função espectral fica $J(\omega) = \eta\omega\theta(\Omega - \omega)$, onde θ é a função Heaviside, usando essa definição, chegamos em:

$$\sum_k \frac{C_k^2}{m_k \omega_k^2} \frac{1}{2\pi i} \int_{\epsilon - i\infty}^{\epsilon + i\infty} \frac{s^2}{s^2 + \omega_k^2} e^{st} q'(s) ds = \eta \dot{q} \quad (26)$$

Esse termo pode ser interpretado como uma força que depende das condições iniciais do sistema aos osciladores do reservatório

$$f(t) = \sum_k \frac{C_k}{2\pi i} \int_{\epsilon - i\infty}^{\epsilon + i\infty} \frac{[\dot{q}_k(0) + q_k(0)s]}{s^2 + \omega_k^2} e^{st} ds \quad (27)$$

Chegamos na equação de Langevin:

$$M\ddot{q} + \frac{\partial V(q)}{\partial q} + \eta \dot{q} = f(t) \quad (28)$$

4.1.1 Hamiltoniana

Podemos encontrar a Hamiltoniana do modelo, encontrar primeiramente os momentos canônicos do sistema, $\frac{\partial \mathcal{L}}{\partial \dot{q}} = M\dot{q}$ e $\frac{\partial \mathcal{L}}{\partial \dot{q}_k} = m_k \dot{q}_k$. Usando a definição da hamiltoniana e os momentos obtemos

$$H = p\dot{q} + \sum_k p_k \dot{q}_k - \mathcal{L} \rightarrow H = \frac{p^2}{2M} + V_0(q) + \sum_k \left(\frac{p_k^2}{2m_k} + \frac{m_k \omega_k^2 q_k^2}{2} \right) + \sum_k C_k q q_k \quad (29)$$

4.1.2 O Operador Densidade Reduzido Dinâmico

O operador para o sistema que estamos trabalhando, será $\hat{\rho}_{s+r}(t) = U(t, 0) \hat{\rho}_{s+r}(0) U^\dagger(t, 0)$. Podemos agora associar os osciladores do banho em um vetor $\vec{R} = (R_1, R_2, R_3, \dots, R_N)$ é o valor assumido pelas coordenadas q_k , portando, diferencial será, $d\vec{R} = (dR_1, dR_2, dR_3, \dots, dR_N)$, chegamos que, o estado do reservatório escreve-se, da seguinte forma $|\vec{R}\rangle = |R_1\rangle \otimes |R_1\rangle \otimes |R_1\rangle \otimes \dots \otimes |R_N\rangle$, podemos escrever a completeza da seguinte forma, $\iint dx' dR' |x', \vec{R}'\rangle \langle x', \vec{R}'| = I$.

$$\begin{aligned}
\langle x, \vec{R} | \hat{\rho}_{r+s}(t) | y, \vec{Q} \rangle &= \langle x, \vec{R} | \hat{U}(t, 0) \hat{\rho}_{s+r}(0) \hat{U}(t, 0) | y, \vec{Q} \rangle = \\
&= \iiint dx' dy' d\vec{R}' d\vec{Q}' \langle x, \vec{R} | \hat{U}(t, 0) | x', \vec{R}' \rangle \langle x', \vec{R}' | \hat{\rho}_{s+r}(0) | y', \vec{Q}' \rangle \langle y', \vec{Q}' | \hat{U}(t, 0) | y, \vec{Q} \rangle
\end{aligned} \tag{30}$$

Usando a definição de propagador que usamos anteriormente, chegamos que:

$$\langle x, \vec{R} | \hat{\rho}_{r+s}(t) | y, \vec{Q} \rangle = \iiint dx' dy' d\vec{R}' d\vec{Q}' K(x, \vec{R}, t; x', \vec{R}', 0) \langle x', \vec{R}' | \hat{\rho}_{s+r}(0) | y', \vec{Q}' \rangle K^*(y', \vec{Q}', t; y, \vec{Q}, 0) \tag{31}$$

O espaço de Hilbert para esse problema é N+1 dimensional, já que estamos considerando 1 sistema de interesse interagindo com N osciladores do reservatório. Os dois propagadores são responsáveis pela evolução do operador densidade, é o sistema mais reservatório. Estamos interessados em observar o comportamento do sistema, portanto, traço de $\rho_{r+s}(t)$ com respeito às variáveis do reservatório, logo, $\hat{\rho}_{r+s}(t) = Tr_R(\hat{\rho}_{r+s}(t)) = \int d\vec{R} \langle \vec{R} | \hat{\rho}_{r+s}(t) | \vec{R} \rangle$, é o operador densidade reduzido do sistema.

$$\rho_s(x, y, t) = \iiint dy' dx' d\vec{R} d\vec{R}' d\vec{Q}' K(x, \vec{R}, t; x', \vec{R}', 0) \langle x', \vec{R}' | \hat{\rho}_{s+r}(0) | y', \vec{Q}' \rangle K^*(y', \vec{Q}', t; y, \vec{Q}, 0) \tag{32}$$

Podemos definir uma função

$$J(x, y, t; x', y', 0) = \iiint d\vec{R} d\vec{R}' d\vec{Q}' K(x, \vec{R}, t; x', \vec{R}', 0) K^*(y', \vec{Q}', t; y, \vec{Q}, 0) \tag{33}$$

Chamamos de super propagador que rege a evolução temporal do operador densidade reduzido do sistema, usando a representação de Feynman e a ação clássica.

$$\begin{aligned}
J(x, y, t; x', y', 0) &= \iiint d\vec{R} d\vec{R}' d\vec{Q}' \hat{\rho}_R(\vec{R}', \vec{Q}', 0) \\
&\int_{x'}^x \mathcal{D}x \int_{\vec{R}}^{\vec{R}'} \mathcal{D}\vec{R} \exp\left(\frac{i}{\hbar}[S_s + S_R + S_I]\right) \int_{y'}^y \mathcal{D}x \int_{\vec{Q}'}^{\vec{R}} \mathcal{D}\vec{R} \exp\left(-\frac{i}{\hbar}[S_s + S_R + S_I]\right)
\end{aligned} \tag{34}$$

Podemos definir uma função

$$F[x, y] = \iiint \prod_{k=1}^N dR_k dR'_k dQ'_k \rho_R^k(R'_k, Q'_k, 0) K_{R+I}(R_k, t; R'_k, 0; [x(t')]) K_{R+I}^*(R_k, t; Q'_k, 0; [y(t')]) \quad (35)$$

Resolvendo o propagador com ação caracterizada pela lagrangiana Eq. 29, considerando reservatório e interação.

$$\begin{aligned} K_{R+I}(R_k, t; R'_k, 0; [x(t')]) = & \sqrt{\frac{m_k \omega_k}{2\pi i \hbar \sin(\omega_k t)}} \exp \left[\frac{im_k \omega_k}{2\hbar \sin(\omega_k t)} [(R_k^2 + R_k'^2) \cos(\omega_k t) \right. \\ & - 2R_k R'_k - \frac{2R'_k C_k}{m_k \omega_k} \int_0^t x(t') \sin(\omega_k(t-t')) dt' - \frac{2R'_k C_k}{m_k \omega_k} \int_0^t x(t') \sin(\omega_k(t')) dt' \\ & \left. - \frac{2R'_k C_k}{m_k \omega_k} \int_0^t \int_0^{t'} x(t'') x(t') \sin(\omega_k(t-t')) \sin(\omega_k(t-t')) dt' dt'' \right] \end{aligned} \quad (36)$$

Seguindo a mesma lógica chegamos para o propagador $K_{R+I}^*(R_k, t; Q'_k, 0; [y(t')])$.

Ainda falta calcular o operador densidade para um oscilador do reservatório, consideramos um sistema em contato com um reservatório em equilíbrio térmico à temperatura fixa T. Se o sistema em equilíbrio pode estar em N estados, então a probabilidade de o sistema ter a energia E_i é, $P_i = \frac{e^{-E_i \beta}}{\sum_{i=1}^N \exp(-E_i \beta)}$. Quando $|\phi_i\rangle$ é um autoket e E_i é um autovalor de energia correspondente de um hamiltoniana \hat{H} , a probabilidade de que o sistema esteja estado $|\phi_i\rangle$ é P_i , e então, a matriz densidade é, $\rho = \sum_i \frac{e^{-\beta E_i}}{Q} |\phi_i\rangle \langle \phi_i| = \frac{e^{-\beta \hat{H}}}{Q} \sum_i |\phi_i\rangle \langle \phi_i|$.

$$\frac{\partial \rho(\beta)}{\partial \beta} = -\hat{H} \rho(\beta) \quad (37)$$

Encontraremos o operador densidade do oscilador harmônico simples, hamiltoniana descrita da seguinte forma: $\hat{H} = \frac{\hat{p}^2}{2m} + \frac{m\omega \hat{x}^2}{2}$, resolvendo, usando a relação 37, chegamos em

$$\begin{aligned} \rho(x, x'; \beta) = & \frac{1}{Z} \sqrt{\frac{m\omega}{2\pi \hbar \sinh(\omega \hbar \beta)}} \\ & \exp\left(\frac{m\omega}{2\hbar \sinh(\omega \hbar \beta)} [(x^2 + x'^2) \cosh(\omega \hbar \beta) - 2xx']\right) \end{aligned} \quad (38)$$

a função partição do sistema é dado por $Z = \frac{1}{2\sinh(\omega\hbar\beta/2)}$, logo, chegamos que:

$$\rho(x, x'; \beta) = 2\sinh(\omega\hbar\beta/2) \sqrt{\frac{m\omega}{2\pi\hbar\sinh(\omega\hbar\beta)}} \exp\left(\frac{m\omega}{2\hbar\sinh(\omega\hbar\beta)}[(x^2 + x'^2)\cosh(\omega\hbar\beta) - 2xx']\right) \quad (39)$$

Substituindo pelo sistema de coordenadas que estamos usando, chegamos que:

$$\rho_R^K(R'_k, Q'_k; t = 0, 0) = 2\sinh(\omega_k\hbar\beta/2) \sqrt{\frac{m_k\omega_k}{2\pi\hbar\sinh(\omega_k\hbar\beta)}} \exp\left(\frac{m_k\omega_k}{2\hbar\sinh(\omega_k\hbar\beta)}[(R_k^2 + Q_k^2)\cosh(\omega_k\hbar\beta) - 2R'_kQ'_k]\right) \quad (40)$$

4.1.3 Funcional de Influência

Temos em mãos o operador densidade para um oscilador do banho e os propagadores para o osciladores do banho(reservatório), o funcional de influência para o k-ésimo oscilador do banho escreve-se:

$$F[x, y] = \exp\left(-\frac{C_k}{2\hbar m_k \omega_k} \cotgh(\omega_k\hbar\beta/2) \int_0^t d\tau \int_0^\tau d\sigma [x(\tau) - y(\tau)] \cos[\omega_k(\tau - \sigma)] [x(\sigma) - y(\sigma)] \right. \\ \left. + \frac{iC_k^2}{2\hbar m_k \omega_k} \int_0^t d\tau \int_0^\tau [x(\tau) - y(\tau)] \sin[\omega_k(\tau - \sigma)] [x(\sigma) + y(\sigma)] \right) \quad (41)$$

Definindo as seguintes funções, primeira, $\alpha_R(\tau - \sigma) = \sum_{k=1}^N \frac{C_k^2}{2m_k \omega_k} \cotgh(\omega_k\hbar\beta/2) \cos[\omega_k(\tau - \sigma)]$ e segunda função, $\alpha_I(\tau - \sigma) = \sum_{k=1}^N \frac{C_k^2}{2m_k \omega_k} \sin[\omega_k(\tau - \sigma)]$, assim podemos escrever o funcional de influência como

$$F[x, y] = \exp\left\{\frac{-1}{\hbar} \int_0^t d\tau \int_0^\tau d\sigma [x(\tau) - y(\tau)] \alpha_R(\tau - \sigma) [x(\sigma) - y(\sigma)] \right\} \\ \exp\left\{\frac{-i}{\hbar} \int_0^t d\tau \int_0^\tau d\sigma [x(\tau) - y(\tau)] \alpha_I(\tau - \sigma) [x(\sigma) + y(\sigma)] \right\} \quad (42)$$

substituindo o funcional de influência no super propagador, temos que:

$$\begin{aligned}
J(x, y, t; x', y', 0) = & \int_{x'}^x D_F x(t') \int_{y'}^y D_F y(t') \exp \left\{ \frac{i}{\hbar} [S_S[x(t')] - S_S[y(t')]] \right. \\
& \left. - \int_0^t d\tau \int_0^\tau d\sigma [x(\tau) - y(\tau)] \alpha_I(\tau - \sigma) [x(\sigma) + y(\sigma)] \right\} * (154) \\
& * \exp \left\{ -\frac{1}{\hbar} \int_0^t d\tau \int_0^\tau d\sigma [x(\tau) - y(\tau)] \alpha_R(\tau - \sigma) [x(\sigma) - y(\sigma)] \right\}
\end{aligned} \tag{43}$$

Usando a definição de função espectral na Eq. 25, reescrevendo para seguinte definição, $\sum_{k=1}^N \frac{C_k^2}{2m_k\omega_k} f(\omega_k) = \frac{1}{\pi} \int_0^\infty J(\omega) f(\omega) d\omega$ nas seguintes nas funções, primeira para o reservatório $\alpha_R(\tau - \sigma) = \frac{1}{\pi} \int_0^\infty J(\omega) \cotgh(\omega_k \hbar \beta / 2) \cos[\omega_k(\tau - \sigma)]$ e a segunda relação para a interação $\alpha_I(\tau - \sigma) = \frac{1}{\pi} \int_0^\infty J(\omega) \sin[\omega_k(\tau - \sigma)]$. Usando a forma da função espectral como $J(\omega) = \eta \omega \Theta(\Omega - \omega)$ (estamos considerando $\Omega \rightarrow \infty$) substituindo nas funções anteriores, $\alpha_I(\tau - \sigma) = \frac{1}{\pi} \int_0^\infty \eta \omega \sin[\omega_k(\tau - \sigma)]$, e a outra $\alpha_R(\tau - \sigma) = \frac{1}{\pi} \int_0^\infty \eta \omega \cotgh(\omega_k \hbar \beta / 2) \cos[\omega_k(\tau - \sigma)]$, resolvendo a equação $\frac{1}{\pi} \int_0^\infty \eta \omega \sin[\omega_k(\tau - \sigma)] = \alpha_I(\tau - \sigma) = \frac{\eta \Omega}{\pi(\tau - \sigma)} \cos[\Omega(\tau - \sigma)] - \frac{\eta}{\pi(\tau - \sigma)^2} \sin[\Omega(\tau - \sigma)]$, substituindo no super propagador, chegamos que:

$$\begin{aligned}
J(x, y, t; x', y', t) = & \int_{x'}^x D_F x(t') \int_{y'}^y D_F y(t') \exp \left\{ \frac{i}{\hbar} [S_s[x(t')] - S_s[y(t')]] - \right. \\
& - \frac{\eta \Omega}{\pi} \int_0^t d\tau [x(\tau) - y(\tau)] \int_0^\tau d\sigma \frac{\cos[\Omega(\tau - \sigma)]}{(\tau - \sigma)} [x(\sigma) + y(\sigma)] + \\
& + \frac{\eta}{\pi} \int_0^t d\tau [x(\tau) - y(\tau)] \int_0^\tau d\sigma \frac{\sin[\Omega(\tau - \sigma)]}{(\tau - \sigma)^2} [x(\sigma) + y(\sigma)] \left. \right\} * \\
& \exp \left\{ \frac{-n}{\pi \hbar} \int_0^t d\tau [x(\tau) - y(\tau)] \int_0^\tau d\sigma \int_0^\Omega d\omega \omega \cotgh(\omega \hbar \hat{h}(2)) \cos[\omega(\tau - \sigma)] [x(\sigma) - y(\sigma)] \right\}
\end{aligned} \tag{44}$$

Consideramos o seguinte potencial efetivo :

$$\begin{aligned}
S_S[x] - S_S[y] + \frac{\eta \Omega}{\pi} \int_0^t d\tau [x^2(\tau) - y^2(\tau)] = \\
= \int_0^t d\tau \left[\frac{1}{2} M \dot{x}^2(\tau) - \frac{1}{2} M \tilde{\omega}^2 x^2(\tau) - \frac{1}{2} M \dot{y}^2(\tau) + \frac{1}{2} M \tilde{\omega}^2 y^2(\tau) \right] = S_s[x(t')] - \tilde{S}_s[y(t')]
\end{aligned} \tag{45}$$

Os intervalos de tempo em que estamos interessados são aqueles em que $t \approx \frac{1}{\omega}$ e que

$\Omega \gg \omega$, ou seja, $\frac{1}{\omega} \ll \frac{1}{\Omega} \rightarrow t \gg \frac{1}{\Omega}$ e assim, podemos fazer a seguinte aproximação, $\frac{1}{\pi} \frac{\sin(\Omega(\tau-\omega))}{\tau-\omega} \approx \delta(\tau-\sigma)$, fazendo essas substituições no super propagador, chegamos que:

$$\begin{aligned}
J(x, y, t; x', y', 0) = & \int_{x'}^x D_F x(t') \int_{y'}^{y_F} D_y(t') \exp \left\{ \frac{i}{\hbar} [\tilde{S}_s[x(t')] - \tilde{S}_s[y(t')]] \right. \\
& \left. - \frac{\eta}{2} \int_0^t d\tau [x(\tau) - y(\tau)][\dot{x}(\tau) + \dot{y}(\tau)] \right\} \\
& \exp \left\{ \frac{-\eta}{\pi \hbar} \int_0^t d\tau [x(\tau) - y(\tau)] \int_0^\tau d\sigma \int_0^\Omega d\omega \omega \cotgh(\omega \hbar \beta / 2) \cos[\omega(\tau - \sigma)] [x | \sigma] \right\}
\end{aligned} \tag{46}$$

Podemos definir a constante de relaxação $\nu = \frac{\eta}{2M}$, logo:

$$\begin{aligned}
J(x, y, t; x', y', 0) = & \exp \left[\frac{-i}{\hbar} f(x, x'; y, y') \right] \int_{x'}^x D_F x(t) \int_{y'}^y D_F y(t) \\
& * \exp \left\{ \frac{i}{\hbar} [\tilde{S}_s[x(t')] - \tilde{S}_s[y(t')] - MV \int_0^t dt' [x(t') \dot{y}(t') - y(t') \dot{x}(t')]] \right\} * \\
& * \exp \int -\frac{2M\gamma}{\pi \hbar} \int_0^t d\tau [x(\tau) - y(\tau)] \int_0^\tau d\sigma \int_0^\Omega d\omega \omega \cotgh(\omega \hbar \beta / 2) \cos[\omega(\tau - \sigma)] [x(\sigma) - y(\sigma)]
\end{aligned} \tag{47}$$

Analisaremos o limite clássico (altas temperaturas), onde temos, $K_B T \gg \hbar \omega$ para $\omega \ll \Omega$, fazendo essas considerações, $\cotgh(\omega \hbar \beta / 2) \approx \frac{2K_B T}{\hbar \omega}$, portanto, temos a seguinte expressão.

$$\begin{aligned}
J(x, y, t; x', y', 0) = & \exp \left[\frac{-i}{\hbar} f(x, x'; y, y') \right] \int_{x'}^x D x(t') \int_{y'}^y D y(t') \exp \left[\frac{i}{\hbar} [\tilde{S}_s[x(t')] - \right. \\
& \left. - \tilde{S}_s[y(t')] - M\gamma \int_0^t dt' [x(t') \dot{y}(t') - \dot{x}(t') y(t')]] \right] \exp \left\{ \frac{-2M\gamma k_B T}{\hbar^2} \int_0^t d\tau [x(\tau) - y(\tau)]^2 \right\}.
\end{aligned} \tag{48}$$

4.1.4 Equação de movimento

Agora podemos encontrar uma equação diferencial para $\hat{\rho}_s(x, y, t)$

$$\rho_s(x, y, t) = \iint J(x, y, t; x', y', 0) \rho_s(x', y', t) dx' dy' \quad (49)$$

O super propagador pode ser encontrado, se seguirmos os mesmos passos de Feynmann ao deduzir a equação de Schrodinger[7] partindo da representação de integrais funcionais para o propagador.

$$K(q_k, t_k; q_{k-1}, t_{k-1}) = \sqrt{\frac{m}{2\pi i \hbar \varepsilon}} \exp \left\{ \frac{i\varepsilon}{\hbar} \left[\frac{m}{2\varepsilon^2} (q_k - q_{k-1})^2 - V(q_k) \right] \right\} \quad (50)$$

O termo $\sqrt{\frac{m}{2\pi i \hbar \varepsilon}}$ nada mais é que um fator de normalização, $\frac{1}{N^2} = \frac{m}{2\pi i \hbar \varepsilon}$, logo, $K(q_k, t_k; q_{k-1}, t_{k-1}) = \frac{1}{N} \exp \left\{ \frac{i\varepsilon}{\hbar} \left[\frac{m}{2\varepsilon^2} (q_k - q_{k-1})^2 - V(q_k) \right] \right\}$. A ação clássica é dada por, $S_{cl} = \int_{t_0}^t (\frac{m\dot{q}^2}{2} - V(q)) dt \approx (\frac{m(q_k - q_{k-1})}{2\varepsilon^2} - V(\frac{q_k + q_{k-1}}{2}))$, para potenciais bem-comportados, em que, $q_k - q_{k-1} = n_k \rightarrow 0$, assim podemos reescrever o potencial como, $V(\frac{q_k + q_{k-1}}{2}) \approx V(q_k - \frac{\eta_k}{2}) \approx V(q_k)$. A ação clássica pode ser escrita da seguinte forma $S_{cl} \approx \varepsilon \left[\frac{m(q_k - q_{k-1})}{2\varepsilon^2} - V(q_k) \right]$.

$$K(q_k, t_k; q_{k-1}, t_{k-1}) \approx \frac{1}{N} \exp\left(\frac{iS_{cl}}{\hbar}\right) \quad (51)$$

Considerando os intervalos de tempo infinitesimais, a integração funcional pode ser aproximada num valor do integrando vezes uma constante de normalização:

$$\int \mathcal{D}q \exp\left(\frac{iS_{cl}}{\hbar}\right) \approx \frac{1}{N} \exp\left(\frac{iS_{cl}}{\hbar}\right) \quad (52)$$

Assim, chegamos que:

$$\begin{aligned}
J(x, y, t + \varepsilon; x', y', t) &\approx \frac{1}{A} \exp \left\{ \frac{-if}{\hbar} (x, x', y, y') \right\} \\
&\exp \left(\frac{i}{\hbar} \left[\int_t^{t+\varepsilon} \left(\frac{1}{2} M \dot{x}^2 - \tilde{V}(x) \right) dt' - \int_t^{t+\varepsilon} \left(\frac{1}{2} M \dot{y}^2 - \tilde{V}(y) \right) dt' \right. \right. \\
&\left. \left. - M\gamma \int_t^{t+\varepsilon} (x\dot{y} - \dot{x}y) dt' \right] \right\} \exp \left\{ \frac{-2M\gamma k_B T}{\hbar^2} \int_t^{t+\varepsilon} (x - y)^2 dt' \right\}
\end{aligned} \tag{53}$$

Faremos as seguintes mudanças de variáveis, $\beta_1 = x - x'$ e $\beta_2 = y - y'$, logo, $dx' = -d\beta_1$ e $dy' = -d\beta_2$, e ainda, $x' = x - \beta_1$ e $y' = y - \beta_2$, portanto, chegamos no seguinte super propagador para o operador densidade.

$$\begin{aligned}
\rho_s(x, y, t + \varepsilon) &= \frac{1}{A} \iint d\beta_1 d\beta_2 \exp \left\{ \frac{iM}{2\hbar\varepsilon} \beta_1^2 - \frac{i\varepsilon}{\hbar} \tilde{V} \left(x - \frac{\beta_1}{2} \right) - \frac{iM}{2\hbar\varepsilon} \beta_2^2 + \right. \\
&+ \frac{i\varepsilon}{\hbar} \tilde{V} \left(y - \frac{\beta_2}{2} \right) - \frac{iM\gamma}{\hbar} \left(x - \frac{\beta_1}{2} \right) \beta_2 + \frac{iM\gamma}{\hbar} \left(y - \frac{\beta_2}{2} \right) \beta_1 - \frac{iM\gamma}{\hbar} \left(x - \frac{\beta_1}{2} \right) \beta_1 + \\
&+ \frac{iM\gamma}{\hbar} \left(y - \frac{\beta_2}{2} \right) \beta_2 - \frac{2M\gamma k_B T \varepsilon}{\hbar^2} (x - y)^2 + \frac{2M\gamma k_B T \varepsilon}{\hbar^2} (x - y) (\beta_1 - \beta_2) - \\
&\left. - \frac{M\gamma k_B T \varepsilon}{2\hbar^2} (\beta_1 - \beta_2)^2 \right\} \rho_S(x - \beta_1, y - \beta_2, t)
\end{aligned} \tag{54}$$

Devemos calcular a integral quando $\varepsilon \rightarrow 0$. Nesse limite, os termos proporcionais a ε^{-1} tornam-se muito grandes, o que faz com que a exponencial oscile muito rapidamente. portanto, para que a integral assumam um valor finito, temos que ter β_1 e β_2 muito pequenos. Na ordem de $\beta_1 \approx \beta_2 \approx \sqrt{\frac{\varepsilon \hbar}{M}}$ Nessa região, a fase de ambas as exponenciais devem mudar por fase de ordem 1. Assim, consideremos: $\beta_1 \approx \beta_2 \approx O(\varepsilon^{1/2})$

Assim definiremos duas novas variáveis, primeira $\beta'_1 = \beta_1 - \gamma(x - y)\varepsilon$ e segunda $\beta'_2 = \beta_2 + \gamma(x - y)\varepsilon$, tal que, $\beta_1 = \beta'_1 + \gamma(x - y)\varepsilon$ e $\beta_2 = \beta'_2 - \gamma(x - y)\varepsilon$ e ainda: $d\beta_1 = d\beta'_1$ e $d\beta_2 = d\beta'_2$.

Agora, considerar uma expansão em série de Taylor para uma função de uma variável:

$$\phi(x+h) = \phi(x) + h \frac{d}{dx} \phi(x) + \frac{1}{2!} h^2 \frac{d^2}{dx^2} \phi(x) + \dots \quad (55)$$

É para uma função de duas variáveis:

$$\begin{aligned} \phi(x+h, y+k) = & \phi(x, y) + h \frac{\partial}{\partial x} \phi(x, y) + k \frac{\partial}{\partial y} \phi(x, y) + \\ & + \frac{1}{2!} \left[h^2 \frac{\partial^2}{\partial x^2} \phi(x, y) + 2hk \frac{\partial^2}{\partial x \partial y} \phi(x, y) + k^2 \frac{\partial^2}{\partial y^2} \phi(x, y) \right] + \dots \end{aligned} \quad (56)$$

É ainda a expansão em uma série da função exponencial:

$$e^{\alpha x} = \sum_{n=0}^{\infty} \frac{(\alpha x)^n}{n!} \simeq 1 + \alpha x + \frac{\alpha^2 x^2}{2!} \quad (57)$$

Fazendo todas essas aproximações, chegamos que:

$$\begin{aligned} \rho_s + \epsilon \frac{\partial \rho_s}{\partial t} = & \frac{1}{A} \frac{2\pi\hbar\epsilon}{M} \left[\rho_s - \frac{i\epsilon}{\hbar} V(x) \rho_s + \frac{i\epsilon}{\hbar} \tilde{V}(y) \rho_s - \right. \\ & - \frac{2M\gamma k_B T}{\hbar^2} \epsilon (x-y)^2 \rho_s - \gamma \epsilon (x-y) \frac{\partial \rho_s}{\partial x} + \gamma \epsilon (x-y) \frac{\partial \rho_s}{\partial y} \left. \right] + \\ & - \frac{1}{A} \frac{\pi\hbar^2 \epsilon^2}{iM^2} \frac{\partial^2 \rho_s}{\partial x^2} + \frac{1}{A} \frac{\pi\hbar^2 \epsilon^2}{iM^2} \frac{\partial^2 \rho_s}{\partial y^2} \end{aligned} \quad (58)$$

O termo de normalização será $\rho_s = \frac{2\pi\hbar\epsilon}{AM} \rho_s$, logo, chegamos que $A = \frac{2\pi\hbar\epsilon}{M}$. Os termos proporcionais a ϵ nos dão a equação de movimento para ρ_s na região semiclássica:

$$\begin{aligned} \frac{\partial \rho_s}{\partial t} = & - \frac{\hbar}{2Mi} \frac{\partial^2 \rho_s}{\partial x^2} + \frac{\hbar}{2Mi} \frac{\partial^2 \rho_s}{\partial y^2} - \gamma (x-y) \left[\frac{\partial \rho_s}{\partial x} - \frac{\partial \rho_s}{\partial y} \right] + \\ & + \frac{1}{i\hbar} [\tilde{V}(x) - \tilde{V}(y)] \rho_s - \frac{2MV k_B T}{\hbar^2} (x-y)^2 \rho_s \end{aligned} \quad (59)$$

Não é a equação mais geral para ρ_s . Válida somente quando temos $2k_b T \gg \hbar\Omega \gg \hbar\omega$,

região semiclássica. Outra forma de escrever:

$$\frac{\partial \rho_s}{\partial t} = \frac{1}{i\hbar}[\hat{H}, \hat{\rho}_s] - \frac{i\nu}{\hbar}[\hat{x}, \{\hat{\rho}, \hat{\rho}_s\}] - \frac{2M\nu K_B T}{\hbar^2}[\hat{x}, [\hat{x}, \hat{\rho}_s]] \quad (60)$$

5 Conclusão

O bolsista conseguiu concluir os estudos da integral de trajetória na Ref.[7] e o modelo de Caldeira-Leggett Ref. [4] durante o período 6 meses da bolsa, conseguindo replicar todas as contas e deduzir a equação de movimento para o modelo de Caldeira-Leggett. O bolsista vai prosseguir os estudos para o tunelamento não-local em seu mestrado.

Partindo da formulação de Feynman, usando a relação do super propagador Eq. 49 com o operador densidade reduzido, encontramos uma equação de movimento para o modelo de Caldeira-Leggett na região semiclássica pelas condições de aproximações feitas para encontrar de forma analítica.

6 Referência

- [1] GDM Neto, MA de Ponte, and Miled Hassan Youssef Moussa. Nonlocal dissipative tunneling for high-fidelity quantum-state transfer between distant parties. *Physical Review A*, 85(5):052303, 2012.
- [2] Sougato Bose. Quantum communication through an unmodulated spin chain. *Physical review letters*, 91(20):207901, 2003.
- [3] Michael A Nielsen and Isaac L Chuang. *Quantum computation and quantum information*. Cambridge university press, 2010.
- [4] Amir O Caldeira and Anthony J Leggett. Quantum tunnelling in a dissipative system. *Annals of physics*, 149(2):374–456, 1983.
- [5] Anthony J Leggett, SDAFMGA Chakravarty, Alan T Dorsey, Matthew PA Fisher, Anupam Garg, and Wilhelm Zwerger. Dynamics of the dissipative two-state system. *Reviews of Modern Physics*, 59(1):1, 1987.
- [6] A Cacheffo, MA De Ponte, Miled Hassan Youssef Moussa, and ASM De Castro. Quasi-perfect state transfer in a bosonic dissipative network. *Journal of Physics B: atomic, molecular and optical physics*, 43(10):105503, 2010.
- [7] Hagen Kleinert. *Path integrals in quantum mechanics, statistics, polymer physics, and financial markets*. World scientific, 2009.